

## بررسی آزمایشگاهی تاثیر زبری‌های مصنوعی بر روی نوسانات لحظه‌ای سرعت در جریان غلیظ نمکی

پیمان ورجاوند<sup>۱\*</sup> - علی حسین زاده دلیر<sup>۲</sup> - مهدی قمشی<sup>۳</sup> - داود فرسادی زاده<sup>۴</sup>

تاریخ دریافت: ۱۳۹۱/۱۲/۲۷

تاریخ پذیرش: ۱۳۹۲/۵/۲۳

### چکیده

نوسانات لحظه‌ای سرعت نقش مهمی در انتقال مواد رسوبی معلق دارا می‌باشد. در تحقیق حاضر به بررسی آزمایشگاهی جریان‌های غلیظ نمکی برروی بسترها زبر مصنوعی پرداخته شده است. دو شکل زبری استوانه‌ای و مخروطی با سه ارتفاع زبری مورد استفاده قرار گرفته است. پروفیل سرعت با استفاده از دستگاه سرعت سنج صوتی بطوری برداشت گردید. پروفیل‌های قائم سرعت و غلظت به ترتیب در ۳ و ۴ مقطع در بدنه جریان برداشت گردید. نتایج نشان داد که افزایش ارتفاع زبری نسبی تاثیر چندانی بر روی نوسانات لحظه‌ای سرعت در ناحیه اختلاط بدنه جریان غلیظ ندارد و همچنین تحلیل نوسانات لحظه‌ای سرعت برروی بسترها زبر در ناحیه اختلاط نشان داد که شدت تلاطم در جهت جریان در مزین بین بدنه جریان غلیظ و سیال پیامون برای زبری‌های استوانه‌ای و مخروطی بترتیب حدود ۴۸ و ۳۲ درصد سرعت برشی می‌باشد.

### واژه‌های کلیدی:

پروفیل سرعت، پروفیل غلظت، زبری نسبی، سیال غلیظ، شدت تلاطم

### مقدمه

(۴). شاید مهمترین کاربرد جریان گل آسود در مخازن سدها می‌باشد که خود یکی از روش‌های مهم رسوب زدایی در مخازن به شمار می-رود، به طوری که گارسیا (۶) از جریان گل آسود به عنوان روش عمومی چهت رسوب زدایی مخازن سدها نام برده است. بنابراین بررسی و مطالعه جریان‌های گل آسود و کسب دانش و اطلاعات کافی برای درک بهتر مسائل مربوط به رسوب گذاری در جهت حفظ و نگهداری مخازن موجود، کاملاً لازم و ضروری به نظر می‌رسد. حمل رسوبات در جریان‌های غلیظ رسوبی بشدت تحت تاثیر تلاطم موجود در بدنه جریان است که با توجه به دانه‌بندی رسوبات و میزان تلاطم، معلق ماندن و یا تنهشینی رسوبات را تعیین می‌نماید. تنر (۱۳) جریان گل آسود را به خوبی و مفصلأ در کتاب خود تجزیه و تحلیل نمود. وی این جریان را برای سطح آزاد آرام و مغشوش بررسی کرده است که مورد مراجعة بسیاری از محققین پس از قرار گرفته است. او اخاطر نشان می‌کند که جریان سیال سنگین در زیر سیال سبک ساکن وجه تشابه بسیاری با جریان سطح آزاد دارد. گارسیا (۵) اثر تغییر شیب بر روی رفتار جریان گل آسود را به صورت آزمایشگاهی در حالت دو بعدی مورد بررسی قرار داد. فیروزآبادی و همکاران (۲) آزمایشات خود را با محلول آب نمک و جریان حاوی کائولن و پودر سنگ در غلظت‌های مختلف انجام دادند. نتایج حاصل از آزمایش‌ها نشان می‌دهد که

بطور کلی جریان چگال، جریان دو فازی است با اختلاف کمی در چگالی فازها، نظیر جریان مواد رسوبی معلق در آب. جریان‌های چگال به دو دسته جریان‌های چگالی پایستار<sup>۵</sup> یا فاقد ذره مانند جریان غلیظ نمکی و جریان‌های چگالی نایپایستار<sup>۶</sup> یا حاوی ذرات معلق قابل تقسیم است که در این صورت اصطلاحاً جریان گل آسود نامیده می‌شود (۸). این جریان‌ها اغلب در اقیانوس‌ها، دریاچه‌ها و مخازن سدها اتفاق می‌افتد و عامل انتقال رسوب به آبهای عمیق تر می‌باشند (۱۱). یکی از عوامل موثر در عمر اقتصادی سدها پدیده رسوب گذاری و انباشتگی رسوب در مخازن آن‌ها است و این معضلی است که در طول زمان و به مرور عمر مخازن را به مخاطره اندخته و در پی آن منجر به از دست رفتن سرمایه‌های کلان ملی شده است

۱، ۲ و ۴ - به ترتیب دانشجوی دکتری، استاد و دانشیار گروه مهندسی آب، دانشکده کشاورزی، دانشگاه تبریز

۳ - نویسنده مسئول: (Email: pvarjavand@yahoo.com)

۳ - استاد دانشکده مهندسی علوم آب، دانشگاه شهید چمران اهواز

5- Conservative

6- Non conservative

در جهت بدنه جریان غلیظ و تاثیر زبری مصنوعی بر روی آن، به بررسی تاثیر این زبری‌ها بر قدرت حمل رسوبات پرداخته و میزان تشابه رفتار جریان غلیظ با رفتار کانال‌های روباز در زمینه حمل رسوبات مورد تحلیل قرار گیرد.

## مواد و روش‌ها

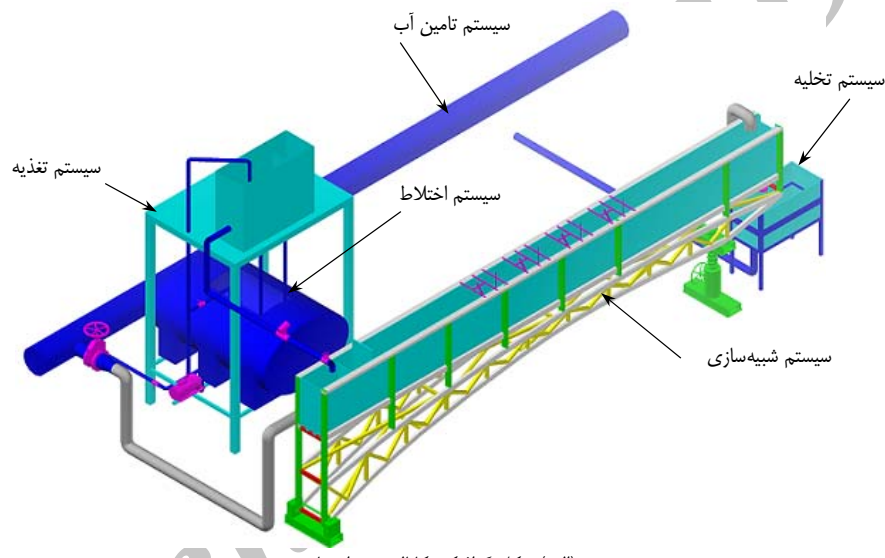
آزمایش‌های تحقیق حاضر در آزمایشگاه مدل‌های فیزیکی و هیدرولیکی دانشکده مهندسی علوم آب دانشگاه شهید چمران اهواز انجام شده‌اند. فلوم با عرض ۳۵ و عمق ۷۰ سانتیمتر بطول ۸ متر می‌باشد. این فلوم امکان ایجاد جریان غلیظ بصورت رهاسدن ناگهانی<sup>۱</sup> را دارد می‌باشد. اندازه‌گیری پروفیل سرعت با استفاده از دستگاه سرعت سنج اکوستیک پروفایل (DOP2000) انجام شده است، این دستگاه با استفاده از تغییر فاز در موج فرماصوت پروفیل سرعت را برداشت می‌کند. تنظیمات دستگاه به گونه‌ای انجام شده است که در هر ثانیه تعداد ۲۹ مقدار سرعت لحظه‌ای را در هر محل اندازه‌گیری قرائت می‌کند. اندازه‌گیری پروفیل سرعت در ۴ مقطع به فواصل ۷۵، ۱۵۰، ۱۹۸ و ۲۲۵ سانتیمتر از ابتدای بستر زیر انجام گردید (شکل ۱). بدی جریان غلیظ با استفاده از یک دبی سنج الکترومناطیس با دقت  $\pm 0.5$  تا  $\pm 0.8$  درصد اندازه‌گیری شد. نمونه برداری پروفیل غلظت از بدنه جریان غلیظ بوسیله یک سیفون با لوله‌هایی به قطر ۴ و به فاصله ۱۵ میلیمتر در جهت قائم در ۳ مقطع به فواصل ۷۵، ۱۵۰ و ۲۲۵ سانتیمتر از ابتدای بستر زیر انجام شد. بازشدنگی دریچه ابتدای فلوم با توجه به شرایط آزمایشگاه به منظور دسترسی هرچه بهتر به جریان یکنواخت ۵۰ میلیمتر می‌باشد و فاصله شروع بستر زیر از دریچه ۱۵۰ سانتیمتر می‌باشد. به منظور ایجاد جریان غلیظ نمکی، از نمک پودری با چگالی  $1825/36$  گرم در لیتر استفاده گردید. به منظور حصول اطمینان از عدم تاثیر دما در تابع، دمای سیال غلیظ کنترل شده بطوریکه حداقل اختلاف دمای آن با سیال پیرامون  $\pm 0.5$  درجه سانتیگراد بوده است. زبری‌ها دارای دو شکل استوانه‌ای و مخروطی با ارتفاع‌های ۱۰، ۲۵ و ۴۰ میلیمتر می‌باشد. فاصله طولی زبری‌ها ۷۵ و فاصله عرضی آنها ۳۰ میلیمتر در نظر گرفته شد. طول بستر زیر ۴ متر و آرایش آنها ثابت و بصورت زیگزاگ می‌باشد. شکل‌های ۱ و ۲ زبری‌های مورد استفاده در تحقیق حاضر را نشان می‌دهد.

وجود ذرات، بر سرعت پیشروی جریان نسبت به جریان چگالی محلول آب نمک می‌افزاید و افزایش شبیه بستر باعث افزایش سرعت پیشروی جریان می‌گردد. از طرف دیگر وجود ذرات در جریان و سقوط آنها در طول مسیر باعث تغییر گردیدن چگالی شده و در نیروی رانش و افزایش آن مؤثر می‌باشد. وجود ذرات در جریان به این‌رسی موضعی جریان افزوده و در نتیجه باعث افزایش سرعت متوسط آن می‌گردد. هورسج (۷) بصورت آزمایشگاهی به بررسی جریان غلیظ برروی سطوح شیبدار پرداخت. نتایج نشان دادند که با صرفنظر کردن از خطوط جریان ناشی از شناوری، گردابیان فشار با لایه مزدی سازگار می‌باشد. در این مورد دو رژیم قابل تشخیص می‌باشد، منطقه‌ای که در آن توسعه جریان بوسیله شرایط اولیه کنترل می‌شود و منطقه کاملاً توسعه یافته که مستقل از شرایط اولیه می‌باشد. اسلام و ایمان (۹) به بررسی پروفیل توزیع سرعت و غلظت و همچنین تلاطم در بدنه و پیشانی جریان غلیظ نمکی و رسوبی بیوسته بصورت آزمایشگاهی پرداختند. جریان از روی یک شب به بستر افقی می‌رسد. پروفیل سرعت لحظه‌ای بوسیله دو دستگاه سرعت سنج متوسط اندازه‌گیری شده و با استفاده از نتایج بدست آمده پروفیل متوسط زمانی سرعت، انرژی جنبشی تلاطم و مولفه‌های تنش رینولدز استخراج شدند. پروفیل‌های تنش رینولدز و انرژی جنبشی تلاطم شباخت زیادی را در منطقه نزدیک دیواره نشان دادند. پروفیل عمودی انرژی جنبشی تلاطم دارای دو مقدار ماکریم در نزدیکی محل وقوع سرعت ماکریم بودند. نسبت مقدار ماکریم انرژی جنبشی تلاطم به متوسط آن تقریباً  $1/5$  بوده و مقدار انرژی جنبشی تلاطم در منطقه بین دو مقدار ماکریم تقریباً  $50\%$  متوسط عمقی آن می‌باشد. نورمحمدی و همکاران (۱۰) ساختار جریان غلیظ رها شده برروی بستر شبیه دار را بصورت آزمایشگاهی مورد بررسی قرار دادند. با توجه به مشاهدات آزمایشگاهی اینطور نتیجه شد که اگر جریان غلیظ در یک کanal حرکت کند ممکن است که بدليل پرش هیدرولیکی خامامت آن افزایش یابد. این پدیده در حالات خاص جریان ورودی اتفاق می‌افتد و برروی ساختار جریان شامل سرعت، ارتفاع جریان و تنش برشی بستر تاثیر محسوس می‌گذارد. افضلی‌مهر و حیدرپور (۱۱) در کتاب خود مقادیر بدون بعد  $\frac{\sqrt{u^2}}{u^*}$  را در عمق برای کanal‌های باز بررسی نمودند و به این نتیجه رسیدند که نوسانات این مقادیر در عمق کم بوده و در سطح آزاد  $= 0.6u^*$  می‌باشد. از آنجاییکه قدرت حمل رسوبات معلق در جریان وابسته به نوسانات سرعت و قدرت جریان می‌باشد و همچنین انتقال رسوبات بوسیله در مخازن سدها منشا مشکلات جدی بوده و طبق بررسی منابع انجام شده مطالعه آزمایشگاهی برروی این موضوع انجام نشده است، در تحقیق حاضر سعی برآن شده که با بررسی نوسانات لحظه‌ای سرعت

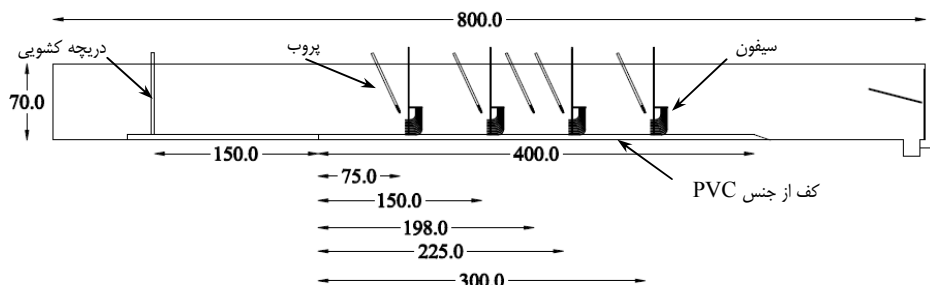
سپس سیال پیرامون که همان آب خالص می‌باشد در فلوم تغذیه شده بطوریکه سطح آب آرام و بدون تلاطم بالا رود و همزمان با آن سیال غلیظ در پشت دریچه کشویی ابتدای فلوم تغذیه شده و سطح آن متناسب با سیال پیرامون بالا می‌آید. با ثابت شدن سطح سیال پیرامون ( بواسطه سریز انشهای فلوم) دی سیال غلیظ به کمک دبی سنج الکترومغناطیس تنظیم شده و با یکسان شدن سطح سیال غلیظ و سیال پیرامون دریچه کشویی بصورت ناگهانی باز می‌شود. ابتدا پیشانی جریان و پس از آن دنباله و سپس بدنه جریان غلیظ شکل گرفته و پس از عبور جریان غلیظ از کanal و تخلیه آن در انشهای فلوم و ماندگار شدن جریان، پروفیل‌های غلظت و سرعت برداشت می‌گردند.

### روش انجام آزمایش‌ها

به منظور ایجاد سیال غلیظ از یک مخزن اختلاط به حجم مفید ۲ مترمکعب استفاده گردید. بدین منظور، مخزن مذکور با آب خالص به حجم ۲ مترمکعب پر شده و سپس متناسب با غلظت مورد نظر نمک به آن افزوده و شده و به کمک یک پمپ اختلاط، محلول آب و نمک ایجاد می‌گردید (به منظور اختلاط بهتر از روش همزدن دستی نیز استفاده گردید). در شکل ۱ الف سیستم کanal مورد استفاده و بخش‌های مختلف آن نشان داده شده‌اند. پس از اطمینان از اختلاط کامل سیال غلیظ، سیال غلیظ به هدستانک با حجم مفید ۴۰۰ لیتر منتقل گردیده که به کمک یک سریز سطح سیال غلیظ در آن ثابت نگهداشته می‌شود (سیستم تغذیه در شکل ۱الف).



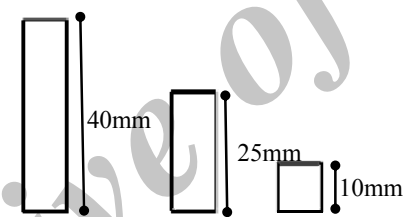
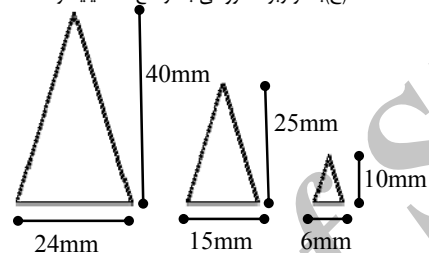
(الف) شکل گرافیکی کanal مورد استفاده



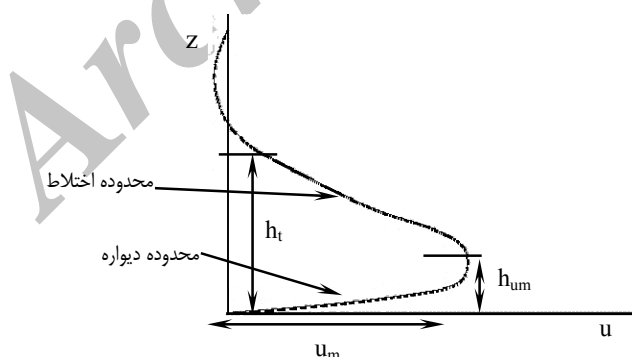
(ب) ابعاد کanal و فواصل تجهیزات اندازه‌گیری (اندازه‌ها به سانتیمتر)



(ج) بستر زیر مخروطی به ارتفاع ۲۵ میلیمتر



شکل ۱- کانال و زبری‌های مورد استفاده



شکل ۲- پارامترهای مورد استفاده

پارامترهای مورد استفاده در تحقیق حاضر به قرار شکل ۲ می‌باشند:  
از کف،  $u_m$  و  $h_{um}$  سرعت حداکثر و فاصله آن تا کف و  $h_t$  پارامترهای فوق عبارتند از:  $u$  سرعت متوسط زمانی در فاصله  $Z$  می‌دهد.

جدول ۱- خلاصه مشخصات آزمایش‌های انجام شده

سری آزمایش	دبی (لیتر بر ثانیه)	دربچه (گرم در لیتر)	غلظت پشت	شیب (%)	عدد فروود دنسیمتریک	عدد رینولدز $\times 10^3$	شکل زبری	ارتفاع زبری (میلیمتر)	تعداد آزمایش
۱	.۹۳۷-۱/۰۰۲	۱۰/۶۷-۲۰/۸۴	.۵۰-۱/۲۵-۲/۰۰	.۶۴-۱/۹۴	۲/۲-۵/۲	—	—	—	۹
۲	.۹۷۵-۱/۱۰۸	۱۰/۲۶-۲۱/۸۰	.۵۰-۱/۲۵-۲/۰۰	.۵۵-۱/۲۶	۲/۹-۵/۳	مخروطی	۱۰	—	۹
۳	.۹۸۰-۱/۰۱۰	۱۰/۴۱-۲۰/۶۸	.۵۰-۱/۲۵-۲/۰۰	.۵۹-۰/۹۹	۳/۳-۴/۸	مخروطی	۲۵	—	۹
۴	.۹۶۶-۱/۰۳۷	۱۰/۷۲-۲۰/۴۱	.۵۰-۱/۲۵-۲/۰۰	.۴۲-۰/۸۰	۳/۳-۵/۲	مخروطی	۴۰	—	۹
۵	.۹۹۰-۱/۰۱۲	۱۰/۰۴-۲۰/۵۱	.۵۰-۱/۲۵-۲/۰۰	.۵۲-۱/۳۴	۳/۱-۵/۶	استوانه‌ای	۱۰	—	۹
۶	.۹۶۰-۱/۰۶۶	۱۱/۰۹-۲۱/۴۲	.۵۰-۱/۲۵-۲/۰۰	.۴۶-۱/۰۴	۳/۲-۵/۲	استوانه‌ای	۲۵	—	۹
۷	.۹۸۶-۱/۰۴۶	۱۱/۲۵-۲۰/۸۴	.۵۰-۱/۲۵-۲/۰۰	.۴۰-۰/۸۴	۳/۶-۴/۵	استوانه‌ای	۴۰	—	۹

غليظ و غيرپايسنار بودن جريان غليظ نمکي است. در واقع اختلاف بين جريان غليظ نمکي و جريان‌های غليظ رسوبی موجود در طبيعت، ناشي از اختلاف در شناوری و نوسانات چگالي می‌باشد، در مورد جريان‌های آشفته، اگر نوسانات لحظه‌ای سرعت به ۲۰ درصد سرعت متوسط برسد در چنین شرایطی نوسانات چگالی در عدد ماخ حدود يك شروع به تاثير گذاري بر روی آشفتگي می‌کند (۱۲)، نظر به اينکه شروط ذكر شده در تحقيق حاضر ايجاد نشده‌اند، می‌توان از تاثير نوسانات چگالی صرف‌نظر نموده و بنابراین نتایج حاصل قبل تعیيم به جريان‌های طبیعی هستند.

با افزایش ارتفاع زبری، ضخامت جريان زياد شده و فاصله سرعت جداکثر از کف بيشتر می‌گردد که ضرایب نيز اين روند را تاييد می‌کنند. تغييرات ضرائب در بستر زبر نسبت به بستر صاف  $h_m$  که مربوط به ناحيه دیوار سرعت است بيشتر از ضرایب دیگر می‌باشد و در عين حال با افزایش ارتفاع زبری پروفيل سرعت در ناحيه دیوار از کف جداشده و در ناحيه اختلال به سیال پیرامون نزدیک می‌گردد. تاثير زبری استوانه‌ای نسبت به مخروطی در ارتفاع‌های مشابه بيشتر است که اين مسئله ناشي از پديده برخاستگي جريان است. اين رفتار طبق بررسی منابع انجام شده تا الحال مشاهده نشده است. در تحقيق حاضر با عنوان پديده برخاستگي نامگذاري<sup>۱</sup> گردید. در اين پديده بدليل شناوری بسيار پايان جريان غليظ و حضور مانع زبری در مسیر جريان، بخش عمده جريان غليظ تمایيل به جدا شدن از کف و عبور از روی زبری را دارد و لذا اين دليل پروفيل سرعت بشدت تحت تاثير اين رفتار قرار گرفته است و در زبری به ارتفاع ۴۰ ميليمتر مشاهده گردیده و همچنين در زبری مخروطی نسبت به زبری استوانه‌ای شدیدتر است. لذا تغيير در ضرایب پروفيل سرعت در جدول ۲ تحت تاثير اين پديده بوده که شكل زبری نيز بر روی آن موثر است.

## نتایج و بحث

در ابتدا به مقایسه پروفيل‌های سرعت نتیجه شده در تحقيق حاضر با تحقیقات صورت گرفته قبلی و پس از آن به بررسی پروفيل‌های نوسانات لحظه‌ای سرعت در حالات مختلف و مقایسه این نوسانات با جريان در کanal‌های رویاز خواهیم پرداخت.

### پروفيل سرعت

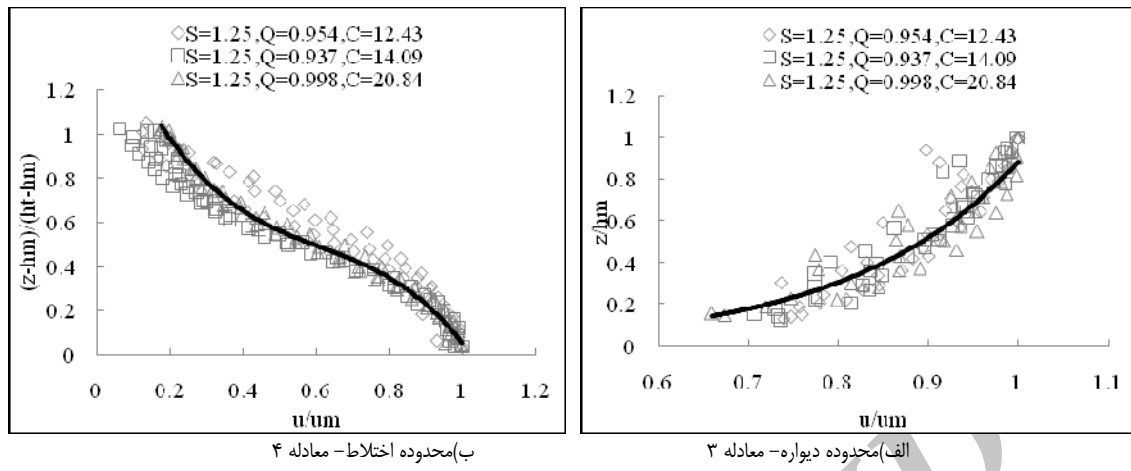
به منظور مقایسه پروفيل سرعت در تحقيق حاضر با نتایج محققین ديگر از معادله ۱ (سرعت در منطقه دیواره) و معادله ۲ (سرعت در منطقه اختلال) استفاده گردید (۱۰).

$$u(z) = \left( \frac{z}{h_m} \right)^{\frac{1}{\alpha_v}} \quad (1)$$

$$u(z) = \exp \left[ -\beta_v \left( \frac{z-h_m}{h_t-h_m} \right)^{\gamma_v} \right] \quad (2)$$

سرعت بدون بعد برای بستر صاف در شکل ۳ نشان داده شده است. (C) بيانگر غلظت پشت در بستر صاف در شکل ۳ نشان داده شده

جدول ۲ مقادير ضرایب روابط ۱ و ۲ را برای تحقيق حاضر و محققین ديگر بيان می‌دارد. با توجه به جدول مذکور مشاهده می‌گردد که ضرایب روابط ۱ و ۲ برای بستر صاف در تحقيق حاضر مشاهده شده اند هستند و اختلاف مشاهده شده بيشتر ناشي از نوع جريان غليظ است که در تحقيق حاضر بصورت نمکي بوده ولی در ديگر تحقیقات رسوبی می‌باشد، در تحقيق حاضر سرعت در جريان غليظ نمکي که غير پايسنار است استفاده شده است و درواقع اين اختلاف بيان کننده اختلال رفتار پروفيل سرعت در جريان غليظ نمکي نسبت به نتایج حاصل از جريان غليظ رسوبی در تحقیقات محققین ديگر است. از آنجاییکه اين پروفيل‌های سرعت بدون بعد است این اختلاف ناشي شده بدليل اختلال شناوری دو نوع جريان



شکل ۳- سرعت بدون بعد برای بستر صاف

جدول ۲- مقادیر ضرایب روابط ۱ و ۲

$\gamma_v$	$\beta_v$	$\alpha_v$	
۲/۰۰	۱/۴۰	۶/۰۰	بستر صاف
۲/۰۴	۲/۰۰	۵/۹۳	بستر صاف
۱/۵۹	۱/۷۹	۳/۸۳	زبری مخروطی (10mm)
۱/۸۰	۱/۶۹	۳/۰۱	زبری مخروطی (25mm)
۱/۷۲	۱/۷۳	۱/۹۹	زبری مخروطی (40mm)
۱/۴۴	۲/۰۱	۴/۶۴	استوانه‌ای (10mm)
۲/۰۵	۱/۳۲	۲/۶۸	استوانه‌ای (25mm)
۲/۱۸	۱/۳۲	۲/۰۴	استوانه‌ای (40mm)

تحقیق حاضر

### پروفیل بدون بعد شدت تلاطم

به منظور بی‌بعدسازی  $u^*$ ، از سرعت برشی ( $u_*$ ) استفاده شده است. در ناحیه دیواره که در زیر سرعت ماکریم قرار دارد عبارت مناسب برای پروفیل سرعت یک توزیع لگاریتمی به شکل زیر در جریان‌های طبقه‌ای می‌باشد (۳).

$$u(z) = \frac{u_*}{k} \left( \ln \frac{z}{z_0} + \alpha \frac{zk\beta}{u_*^3} \right) \quad (3)$$

که در آن  $u_*$  سرعت برشی،  $k$  ثابت فون-کارمنبوده که مقدار آن  $4/41-0/4$  می‌باشد،  $Z_0$  ارتفاع زبری معادل با سرعت صفر و  $\alpha$  یک ثابت تجربی است،  $\beta$  شار رسویات کاهش یافته و  $u(z)$  سرعت متوسط زمانی در ارتفاع  $Z$  می‌باشد. با توجه به اینکه آزمایشات تحقیق حاضر از نوع جریان غلیظ نمکی بوده ( $\beta=0$ ) و همچنین مقادیر  $u_*$ ،  $Z$  و  $k$  مخالف صفر می‌باشند، ترم دوم در سمت راست معادله ۳ حذف شده و معادله به معادله توزیع سرعت پرانتل تبدیل می‌شود.

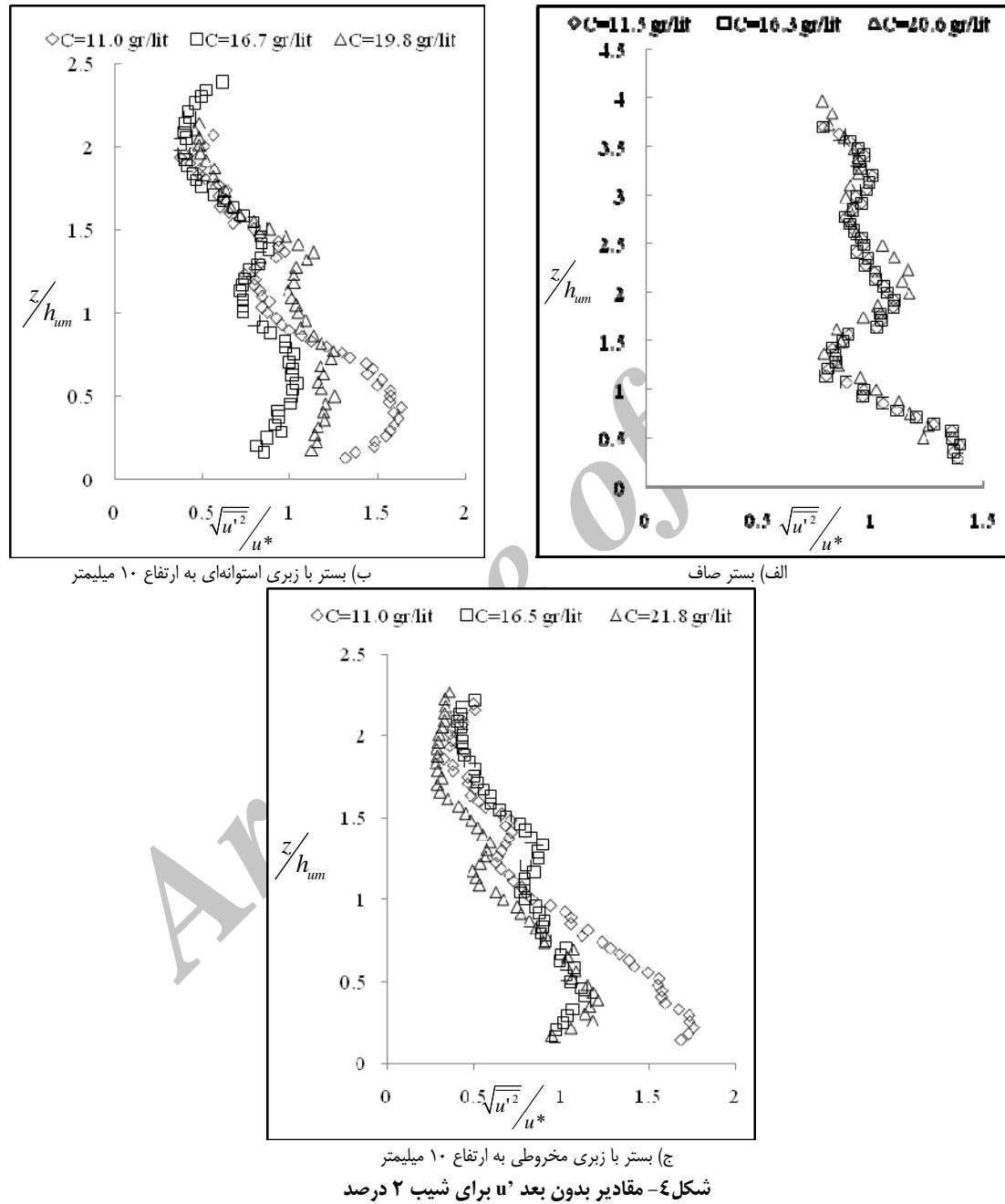
$$u(z) = \frac{u_*}{k} \ln \frac{z}{z_0} \quad (3)$$

مقادیر سرعت برشی با استفاده از معادله ۴ و با کمک برازش

معادله خطی محاسبه شده‌اند. شکل ۴ الف مقادیر بدون بعد  $u^*$  را در شرایط بستر صاف برای شبیه ۲ درصد و سه غلاظت مختلف نشان می‌دهد. مشاهده می‌گردد که تغییرات مقادیر بدون بعد  $u^*$  امکان زیاد بوده که بیانگر جریان لایه‌ای می‌باشد بطوریکه لایه‌های سیال برخلاف جریان در کانال‌های روباز، با حداقل تبادل مومنتوم با یکدیگر به حرکت خود ادامه می‌دهند و در مورد شکل‌های ۴ ب و ج که بترتیب برای زبری استوانه‌ای و مخروطی به ارتفاع ۱۰ میلیمتر برروی بستر با شبیه ۲ آورده شده است، مشاهده می‌گردد که مقادیر نوسانات  $u^*$  با افزایش غلاظت افزایش می‌یابند و زبری بستر برروی نوسانات مقادیر بدون بعد  $u^*$  دارای غلظت پیشتر تاثیر بیشتری دارد که دلیل آن پیشتر بودن غلظت بدنه و افزایش شتاب نقل تحت تاثیر شناوری و در نتیجه آن افزایش تاثیر زبری برروی تبادل مومنتوم در لایه‌های سیال می‌باشد. این رفتار در زیر محل تشکیل سرعت حداقل بستر زبر به جریان کانال باز نسبت به بستر صاف، در واقع گرایش اختلالات رفتار نوسانات مقادیر بدون بعد  $u^*$  با کانال روباز تشابه بیشتری دارد. منظور از رفتار نزدیک‌تر نوسانات سرعت لحظه‌ای در بستر زبر به جریان کانال باز نسبت به بستر صاف، در واقع گرایش

می‌کند ولی در مورد جریان غلیظ بدليل چشمگیر بودن تنفس برشی بین سیال غلیظ و سیال پیرامون این پروفیل دارای نوسان بیشتری بوده و در این شرایط برای بستر صاف مقدار نوسان آن بیشتر از بستر زبر است.

پروفیل بدون بعد  $'$ ابه یک مقدار ثابت در مرز بین سیال غلیظ و سیال پیرامون بدنده جریان غلیظ است که در بستر صاف این مقدار نوسان بیشتری نسبت به بستر زبر دارد در حالیکه در جریان کانال روباز بدليل چراچیز بودن تنفس برشی بین آب و هوا و ناچیز بودن جریان‌های چرخشی سطح آب، در مرز بین آن دو این پروفیل به مقدار ثابت میل



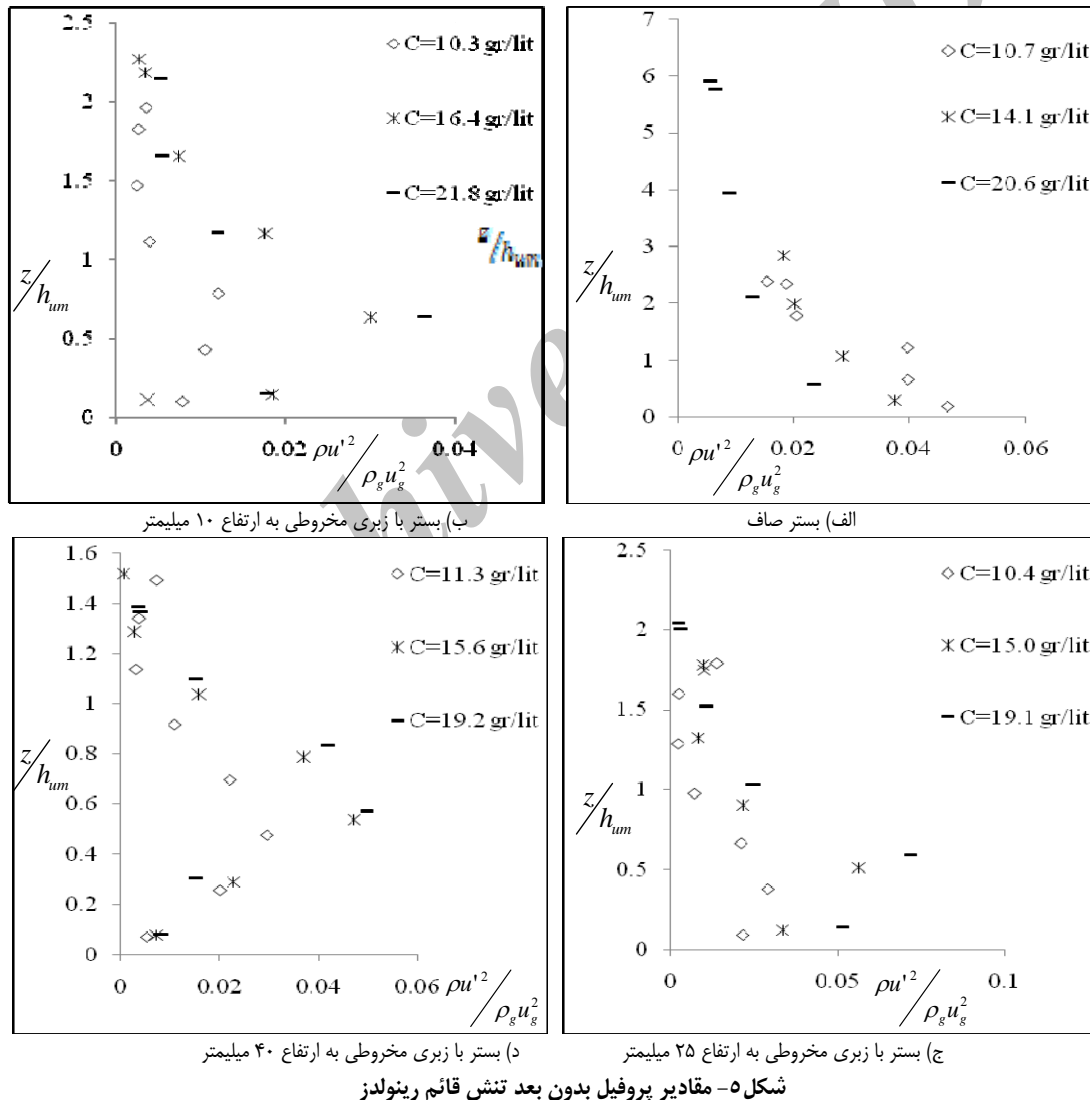
مقدار بی بعد تنش قائم کاسته می شود. با حضور زبری مخروطی به ارتفاع ۱۰ میلیمتر (شکل ۵ب) مشاهده می گردد که شکل پروفیل تنش تغییر کرده و دارای مقدار حداقلی بزرگتر در نزدیکی بستر می باشد، اینن مقدار حداقلی در محلی تشکیل شده است که برای تمامی آزمایشها در بالای زبری می باشد، در شرایط بستر صاف، از آنجاییکه در نزدیکی جدار، تنش برشی از جدار به سیال وارد می شود، نوسانات سرعت بیشتر هستند ولی با زبر شدن بستر پروفیل تنش قائم رینولدز تغییر شکل می دهد و مقدار حداقل آن از بستر فاصله گرفته است، این رفتار در واقع به دلیل ایجاد سیال ساکن در فضای بین زبری ها و در نتیجه آن کمتر شدن نوسانات سرعت در محدوده مذکور می باشد.

در نزدیکی مرز بین بدن جریان غلیظ و سیال پیرامون، بدليل وجود تلاطم و ناپایداری لایه بندی برای بسترها زبر استوانه ای و مخروطی شکل، مقادیر  $\sqrt{u'^3}$  به ترتیب حدود ۰/۴۸ و ۰/۳۲ متر/ ثانیه بر روی می باشد.

#### پروفیل بدون بعد تنش قائم رینولدز

شکل ۵الف مقادیر بدون بعد تنش قائم رینولدز ( $Pu^2$ ) را در جهت قائم در بدن جریان غلیظ و بر روی بستر صاف نشان می دهد. برای بی بعد سازی از پارامترهای سرعت زبر دریچه ( $p_d$ ) و چگالی سیال غلیظ پشت دریچه ( $p_g$ ) استفاده شده است.

در این شکل نشان دهد می شود که با فاصله گرفتن از بستر،



شکل ۵- مقادیر پروفیل بدون بعد تنش قائم رینولدز

### نوسانات لحظه‌ای سرعت

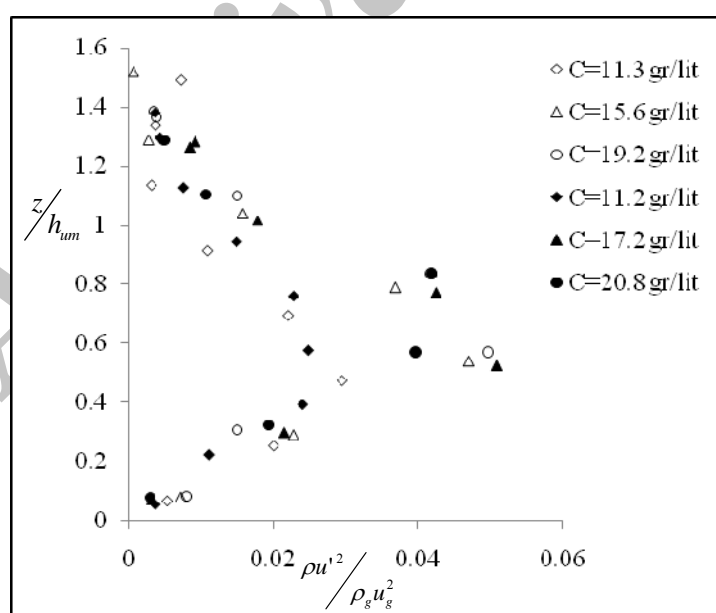
شکل ۷ مقادیر بدون بعد متوسط گیری شده عمقی نوسانات سرعت را در محدوده دیوار و اختلاط برای زبری‌های مخروطی نشان می‌دهد، که در آن با افزایش ارتفاع زبری نسبی، در ناحیه دیوار، بازه تغییرات مقادیر متوسط نوسانات سرعت تغییر کرده بطوریکه در زبری ۱۰ میلیمتر مقادیر این نوسانات کوچکتر از زبری ۲۵ میلیمتر می‌باشد. می‌توان گفت که با افزایش ارتفاع زبری مقادیر متوسط نوسانات سرعت افزایش یافته که در نتیجه آن قدرت حمل رسوبات معلق توسط جریان زیاد می‌شود. این رفتار در زبری با ارتفاع ۴۰ میلیمتر مشاهده شده بطوریکه در این ارتفاع زبری نسبت به زبری با ارتفاع ۲۵ میلیمتر بازه تغییر متوسط نوسانات سرعت مشابه تغییر چندانی نداشته است که دلیل آن وجود پدیده برخاستگی در این ارتفاع زبری بوده که در حاصل آن کاهش نوسانات سرعت در ناحیه بین زبری‌ها می‌باشد. ولی در تمامی مقادیر زبری نسبی، نوسانات سرعت در نزدیکی دیواره بیشتر از ناحیه اختلاط می‌باشد.

### نتیجه‌گیری

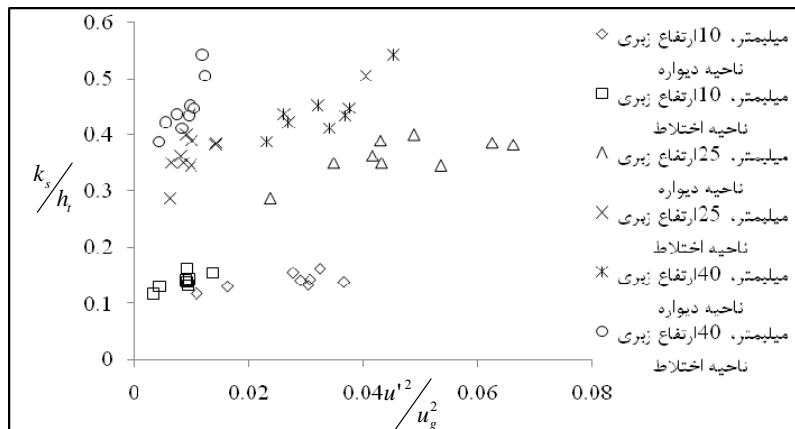
در تحقیق حاضر با استفاده از جریان غلیظ نمکی به بررسی مقادیر نوسانات لحظه‌ای سرعت ( $U'$ ) پرداخته شد. این نوسانات در حمل رسوبات در بدنه جریان غلیظ دارای اهمیت می‌باشند.

با فاصله گرفتن از بستر بدليل اینکه تاثیر زبری کاهش یافته است، به مقدار تنفس قائم رینولذ افزوده شده تا زمانیکه با عبور از زبری‌ها، مقدار این تنفس بشدت زیاد شده است. این افزایش ناگهانی در آزمایشات با غلطات بالا برروی بستر زبر، بیشتر می‌باشد. با نزدیک شدن به سیال پیرامون از مقدار تنفس قائم کاسته شده است. شکل - های ۵ و ۶ تغییرات این پارامترها را برای زبری‌های مخروطی به ارتفاع ۲۵ و ۴۰ میلیمتر نشان می‌دهد که در این شکل‌ها نیز با افزایش ارتفاع زبری محل شکل گیری سرعت حداکثر بالاتر می‌رود. در صورت عدم وجود سرعت لغزشی و زمانیکه مقدار  $U'/C$  زیاد باشد، آشفتگی زیاد شده و در نتیجه آن مقدار تنفس قائم رینولذ نیز افزایش می‌یابد (۱۲)، این رفتار در تحقیق حاضر در نزدیکی دیواره در بستر صاف مشاهده می‌شود ولی در مورد بسترها زبر، با توجه به پروفیل سرعت، تغییرات سرعت در محدوده زبری‌ها کمتر شده و در نتیجه آن مقدار تنفس قائم رینولذ در این فاصله نیز کم شده است.

شکل ۶ مقدار پروفیل تنفس می‌بعد قائم رینولذ را برای بستر زبر به ارتفاع ۴۰ میلیمتر نشان می‌دهد. مشاهده می‌گردد که پروفیل تنفس در بستر زبر حداکثر تنفس می‌بعد قائم رینولذ برای زبری‌های استوانه‌ای ولی مقدار حداکثر تنفس می‌بعد قائم رینولذ برای زبری‌های مخروطی بوده و مخروطی با هم تفاوت دارند. درواقع شکل زبری در حداکثر مقادیر تنفس بدون بعد قائم رینولذ تاثیر دارد.



شکل ۶- مقادیر پروفیل بدون بعد تنفس قائم رینولذ برای بستر با زبری به ارتفاع ۴۰ میلیمتر  
(علامت تویر: زبری استوانه‌ای، علامت توخالی: زبری مخروطی)



شکل ۷- مقادیر متوسط گیری شده عمقی نوسانات سرعت در محدوده دیواره و اختلاط برای زبری‌های مخروطی

دیواره و ناحیه اختلاط، مشخص گردید که افزایش زبری نسبی در زبری‌هایی که پدیده برخاستگی در آنها اتفاق نیافتد است، باعث افزایش بازه مقادیر متوسط نوسانات سرعت شده، ولی وقوع برخاستگی این روند تغییرات را بسیار کمتر نموده بطوریکه با افزایش زبری نسبی، بازه مقادیر متوسط نوسانات سرعت تغییر چندانی نخواهد نمود.

نتایج آزمایش‌ها نشان داد که پروفیل عمقی نوسانات لحظه‌ای سرعت در ناحیه اختلاط بستر زبر نسبت به بستر صاف تشابه بیشتری به جریان در کانال‌های روباز دارد که دلیل آن ناپایداری لایه‌بندی سیال و در نتیجه آن تبادل مومنتوم بیشتر بین آنها می‌باشد. شکل کلی پروفیل تشن قائم رینولدز در بستر صاف با بستر زبر کاملاً متفاوت بوده و با حضور زبری مقدار این تشن افزایش یافته است. با بررسی نتایج متوسط گیری شده مقادیر نوسانات سرعت در نزدیکی

## منابع

- افضلی مهر ح. و حیدرپور م. ۱۳۸۰. مبانی هیدرودینامیک کانال‌های باز. انتشارات ارکان. اصفهان. ایران.
- فیروزآبادی ب، فرهانی ۵.ب. و راد.م. ۱۳۸۰. هدایت و تغییر هیدرودینامیک جریان چگالی گل آلو. مجله بین المللی علوم مهندسی. ۱۲(۴):۱۲۱-۱۳۰.
- 3- Altinakar M.S., Graf W.H. and Hopfinger E.J. 1996. Flow structure in turbidity currents, Journal of Hydraulic Research, IAHR, (3):713–718.
- 4- Fan J. and Morris G.L. 1992. Reservoir sedimentation. I: Delta and density current deposits, Journal of Hydraulic Engineering, ASCE, 118(3):354–369.
- 5- Garcia M.H. 1993. Hydraulic jumps in sediment-driven bottom currents, Journal of Hydraulic Engineering, ASCE, 119(10): 1094-1117.
- 6- Garcia M.H. 1994. Depositional turbidity currents laden with poorly sorted sediment, Journal of Hydraulic Engineering, ASCE, 120(11):1240-1263.
- 7- Horsch G.M. 2004. The structure of two-dimensional, steady, miscible laminar density currents flowing down an incline, Journal of Hydraulic Research, IAHR, 42(2):173-181.
- 8- Huppert H. and Simpson J.E. 1980. The slumping of gravity currents, Journal of Fluid Mechanics, 99: 785-799.
- 9- Islam M.A. and Imran J. 2010. Vertical structure of continuous release saline and turbidity currents, Journal of Geophysical Research, 115:1-14.
- 10- Nourmohammadi Z., Afshin H. and Firoozabadi B. 2011. Experimental observation of the flow structure of turbidity currents, Journal of Hydraulic Research, IAHR, 40(2):168-177.
- 11- Parker G., Fukushima Y. and Pantin H.M. 1986. Self-accelerating turbidity currents, Journal of Fluid Mechanics, 171:145–181.
- 12- Schlichting H. 1979. Boundary-Layer theory. Seventh Edition, McGraw-Hill press, U.S.A.
- 13- Turner J.S. 1973. Buoyancy effects in fluids. Cambridge University Press, London, U.K.



## Experimental Study on the Effects of Artificial Bed Roughness on Instantaneous Velocity Fluctuations of Saline Density Currents

P. Varjavand<sup>1\*</sup>- A. Hosseinzadeh Dalir<sup>2</sup>- M. Ghomeshi<sup>3</sup>- D. Farsadizadeh<sup>4</sup>

Received: 17-03-2013

Accepted: 14-08-2013

### Abstract

Instantaneous velocity fluctuations are very important insuspended sediment load transportation. In this study experiments were performed toinvestigate the effects of artificial bed roughness on the instantaneous velocity fluctuations of saline density currents. Conic and cylindrical shapes of roughness with three heights were used. Velocity profiles were measured with an acoustic profiler velocity meter. Velocity and concentrationprofiles were measured in 3 and 4 cross-sections, respectively. The results show that increasing inrelative roughness height has a little impact on instantaneous velocity fluctuations in the entrainment region of the body of current. Also results of theinstantaneous velocity fluctuations profile on the rough bed show that turbulence intensity at the boundary of the ambient fluid and body of the current for cylindrical and conic roughness were 48 and 32 percent of shear velocity, respectively.

**Keywords:** Concentration profile, Dense fluid,Relative roughness, Turbulence intensity, Velocity profile

1,2,4- PhD Candidate, Professor and Associate Professor, Department of Water Engineering, Faculty of Agriculture, University of Tabriz

(\*- Corresponding Author Email: pvarjavand@yahoo.com)

3- Professor, Faculty of Water Science Engineering, Shahid Chamran University of Ahwaz